南海トラフの地震 (M_w9.0) を対象とした SPGAモデルによる強震動評価事例

野津 厚1

¹正会員 港湾空港技術研究所 地震動研究チーム(〒239-0826 横須賀市長瀬3-1-1) E-mail:nozu@pari.go.jp

2011年東北地方太平洋沖地震($M_w9.0$)の発生を受け、南海トラフにおいても、従来より規模の大きい $M_w9.0$ 程度の巨大地震を想定し、強震動評価が行われるようになってきた。その場合に用いられる震源モデルは、既往の強震記録を通じて、巨大地震への適用性が検証されたものでなければならない。本研究では、震源モデルとして、東北地方太平洋沖地震など既往の巨大地震への高い適用性を示すSPGAモデルを用い、南海トラフの地震($M_w9.0$)に対する強震動の評価を行った。その際、SPGAの位置については事前の予測が困難であるとの立場から、極めて多くのケースについて検討を行った。その結果、SPGAの中でも特に厳しい地震動を生じるものが対象地点に近い場合には、従来の設計で想定されている地震動よりもはるかに強い地震動となること等がわかった。

Key Words: strong ground motion, Nankai Trough, SPGA, the 2011 Tohoku earthquake

1. はじめに

2011年東北地方太平洋沖地震 (M_w9.0) の発生を受け、南海トラフにおいても、従来より規模の大きいM_w9.0程度の巨大地震を想定し、強震動評価が行われるようになってきた¹⁾. このような場合、強震動の評価に用いられる震源モデルは、既往の強震記録を通じて、巨大地震への適用性が検証されたものでなければならない. 特に、構造物の耐震検討を目的として強震動評価を行う場合には、震度のみならず、地震動の波形やスペクトルを適切に再現することのできる震源モデルを用いる必要があると考えられる. 文献1)の検討では、採用する震源モデルについて、東北地方太平洋沖地震の強震記録を用いて震度の再現性を確認しているが、波形・スペクトルの再現性については確認を行っていない.

著者らは、密な強震観測網²³により捉えられた初の海 溝型巨大地震である2003年十勝沖地震(M_w7.9)の発生 以降、強震動を対象として、海溝型巨大地震の震源のモデル化に取り組んできた⁴⁵⁰⁰⁷⁸⁹⁰¹⁰¹¹¹²¹. その中で、著者ら が特に着目したのは、2003年十勝沖地震や1978年宮城県 沖地震(M_w7.6)のような規模の大きい海溝型地震の際、 震源近傍で観測されるパルス状の地震波である。これら の地震波は、構造物に対して影響の大きい0.2-1Hzの帯域 に表れているという点で、たいへん重要であると考えら れる.このような、工学上重要な周波数帯域に現れるパルス状の地震波を、本稿では文献11)12)に倣い強震動パルスと呼ぶ.著者らは、強震動パルスの時間幅に着目し、これと調和的なサイズのサブイベントを組み合わせて震源モデルを構築することを提案した45607.この方法で設定されたサブイベントは、海溝型巨大地震に対して一般的に仮定されることの多い強震動生成域¹³⁾(Strong Motion Generation Area, SMGA)と呼ばれるサブイベントと比較して、面積がかなり小さいものとなる.この「小さめのサブイベント」からなる震源モデルにより、海溝型巨大地震による多くの地点での波形・スペクトルが適切に再現されることが、東北地方太平洋沖地震発生以前の段階でわかっていた45607.

東北地方太平洋沖地震の際,震源断層に比較的近い宮城県から茨城県にかけての比較的堅固なサイトで観測された0.2-1Hzの帯域の波形は,やはり明瞭なパルスによって特徴付けられるものであった「リロン」。この地震についても著者ら8900はパルスの幅に着目して「小さめのサブイベント」からなる震源モデルを作成し(図-1,表-1),それにより,多くの地点での波形・スペクトルが適切に再現されることを示した。

文献4)-10)では、断層面上で強震動パルスを生成した と考えられる領域を「アスペリティ」または「スーパー アスペリティ」と呼んでいた。しかしながら、現時点で

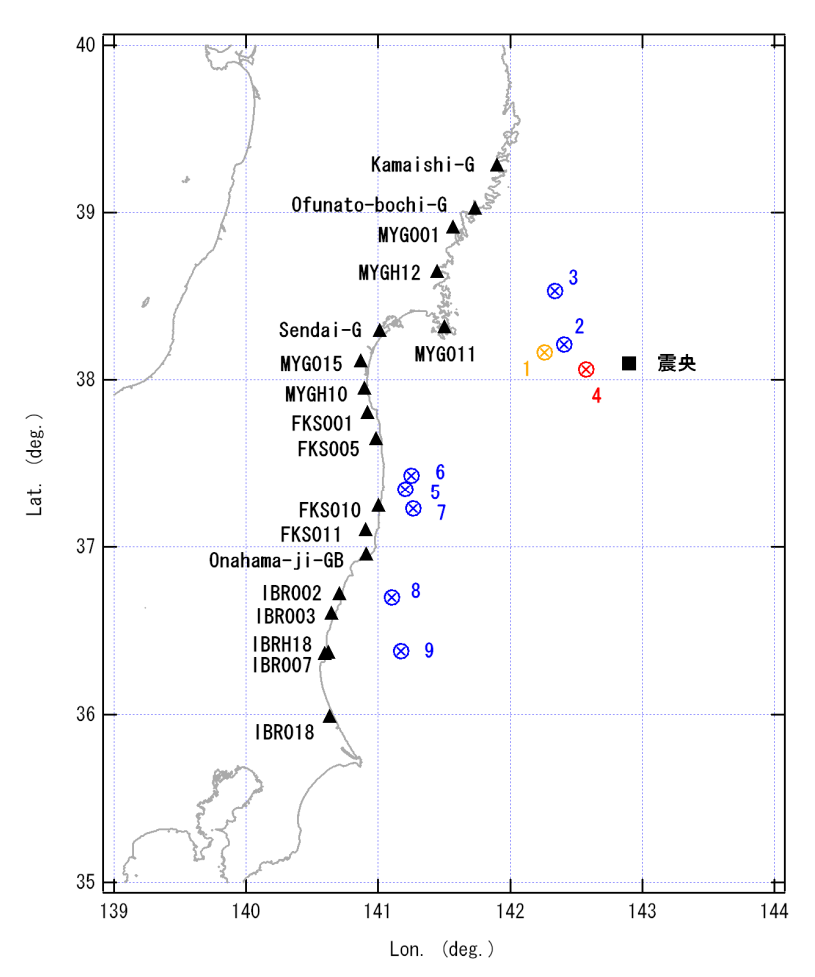


図-1 2011年東北地方太平洋沖地震を対象としたSPGAモデル⁸⁹¹⁰⁾

表-1 2011年東北地方太平洋沖地震を対象としたSPGAモデルのパラメター⁸⁹¹⁰⁾

	破壊開始時刻	長さ	幅	面積	地震モーメント	すべり量	ライズタイム
	(h:m:s)	km	km	km²	Nm	m	s
SPGA1	14:46:43.5	3.0	2.0	6.0	8.00E+18	28.3	0.17
SPGA2	14:46:46.9	4.0	3.0	12.0	8.00E+18	14.1	0.25
SPGA3	14:47:33.4	4.0	2.0	8.0	4.00E+18	10.6	0.17
SPGA4	14:47:26.3	3.5	3.0	10.5	2.10E+19	42.4	0.25
SPGA5	14:47:57.1	3.0	4.0	12.0	3.00E+18	5.3	0.33
SPGA6	14:48:04.4	3.0	4.0	12.0	3.00E+18	5.3	0.33
SPGA7	14:48:15.0	6.0	2.0	12.0	5.00E+18	8.8	0.17
SPGA8	14:48:25.8	8.0	3.0	24.0	9.00E+18	8.0	0.25
SPGA9	14:48:30.9	7.0	7.0	49.0	2.00E+19	8.7	0.58

は「アスペリティ」という用語の用いられ方自体が転換期にあるため¹¹⁾⁽²⁾、本研究では、文献11)(12)に従い、断層面上で強震動パルスを生成したと考えられる領域を強震動パルス生成域(Strong-motion Pulse Generation Area、SPGA)と呼ぶ、また、SPGAから構成される震源モデルをSPGAモデルと呼ぶ。

このように、SPGAモデルは、東北地方太平洋沖地震を含む海溝型巨大地震を対象として、地震動の波形やスペクトルを適切に再現することのできる震源モデルであると言える。しかしながら、巨大地震の発生が懸

念される南海トラフを対象として、SPGAモデルを用いた強震動評価の結果は、これまで報告されていない.

本稿は、既往の巨大地震への高い適用性を示すSPGA モデルを用い、東海から九州の港湾を対象として、南 海トラフの地震 (M_w9.0) に対する強震動評価を行い、 その結果について報告することを目的とする. 強震動 評価にあたり、SPGAの位置については、事前の予測が 困難であるとの立場から極めて多くのケースについて 検討を行っている.

検討の結果、SPGAの中でも特に厳しい地震動を生じ

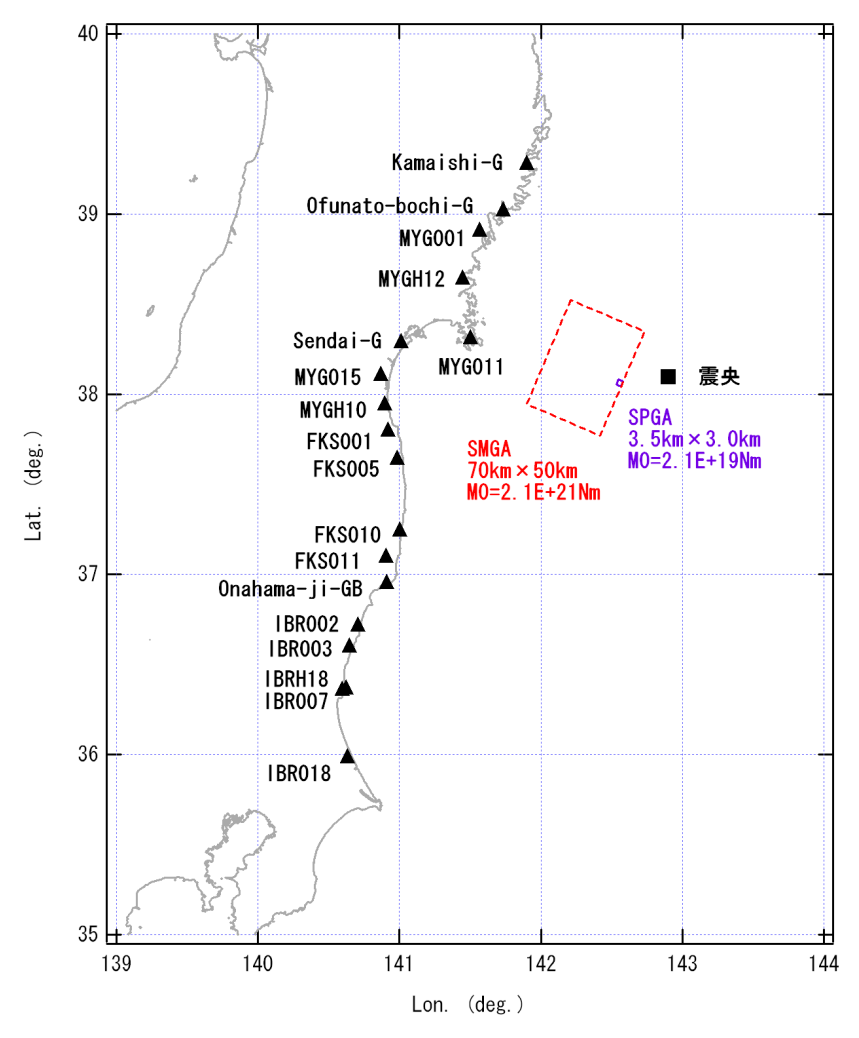


図-2 第2章で計算の対象とするSPGAとSMGA (SMGAの面積は文献1)を参考に設定)

るものが対象地点に近い場合には、従来の設計で想定 されている地震動よりもはるかに強い地震動となるこ と等がわかった.

2. SPGAモデルおよびSMGAモデルから計算される 地震動の特徴

ここで、南海トラフの地震に対する強震動評価に移る前に、文献8)9)10)で設定された東北地方太平洋沖地震のSPGAの一つと、文献1)で東北地方太平洋沖地震の震度の再現に用いられたSMGAの一つを用いて、それぞれ震源付近の強震動を計算することにより、SPGAモデルおよびSMGAモデルから計算される地震動の特徴について把握を行う.

(1) 震源モデル

東北地方太平洋沖地震を対象に設定されたSPGAモデル 8910 は、図-1に示すように、9つのSPGAを含むものと

なっている.この中で、震央に最も近いSPGA4は、地震モーメント、短周期レベル、放射エネルギーのいずれの点においても9つのSPGAの中で最大であり 11 、宮城県の多くの地点で観測された2つめの波群は、ほぼ、SPGA4により説明することができる $^{89)10}$.そこで、ここではこのSPGA4を比較の対象とした。SPGA4の位置を図-2に示す。SPGA4の面積は10.5km 2 、地震モーメントは 2.1×10^{19} Nmである(表-1).

一方,文献1)では、東北地方太平洋沖地震の震度の再現を目的として、岩手県沖から茨城県沖にかけて4つの SMGAを設定している.この中で、ここでは、宮城県沖のSPGA4と比較することを目的として、宮城県沖の SMGAを比較の対象とした.宮城県沖のSMGAの位置を図-2に示す.面積は3500km²である.地震モーメントについては、文献1)では3通りのパラメタースタディーが行われているが、その中で、震度の再現性が最も良好であったとされるケースを取り上げ、その場合に対応する値をここでは用いた.その場合の宮城県沖の SMGAの地震モーメントは2.1×10²¹Nmである.

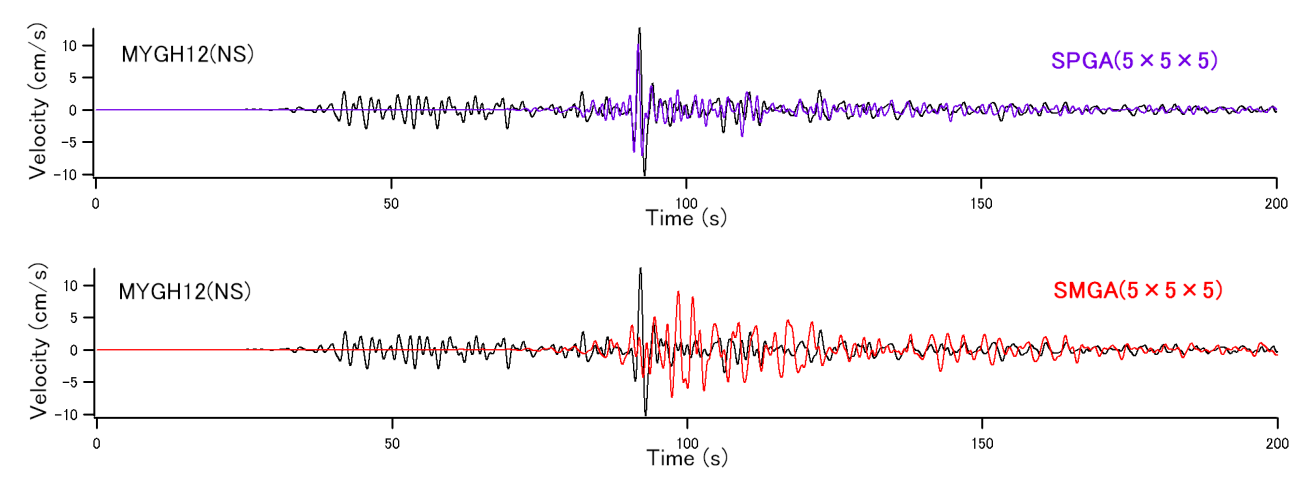


図-3 SPGAモデルとSMGAモデルによる計算結果と観測結果との比較 (分割数 $5 \times 5 \times 5$) (SMGAモデルによる計算結果は振幅を2倍にして表示)

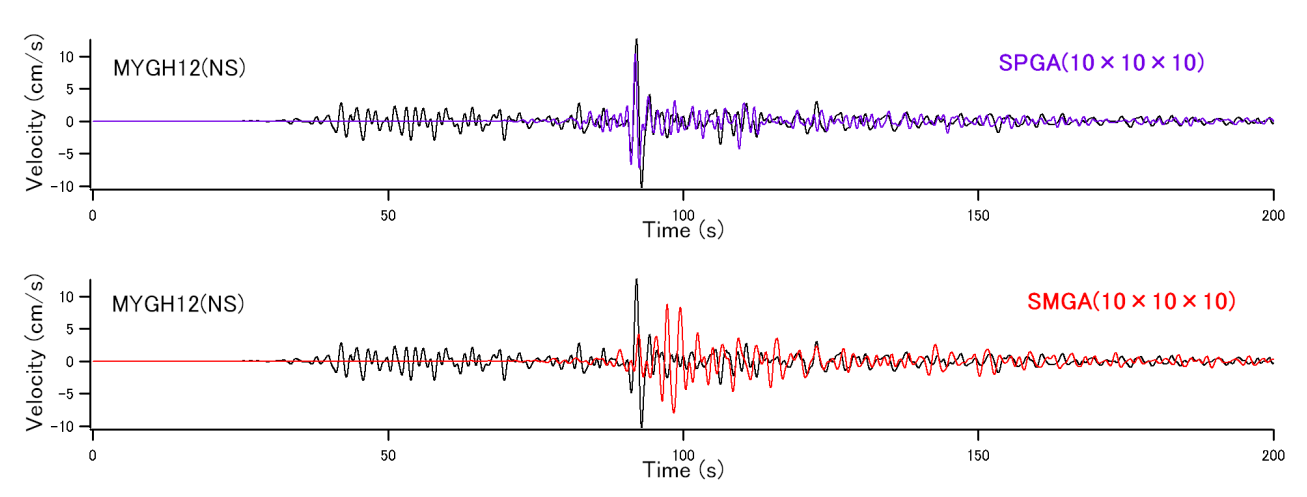


図4 SPGAモデルとSMGAモデルによる計算結果と観測結果との比較(分割数10×10×10) (SMGAモデルによる計算結果は振幅を2倍にして表示)

(2) 地震動算定条件

地震動の計算は、比較的震源に近く明瞭なパルスが 観測されているKik-net³⁾のMYGH12を対象に実施した. 計算方法としては、SPGAモデルの構築を行った際⁸⁹⁾⁽⁰⁾ と同様、経験的サイト増幅・位相特性を考慮する方法 ¹⁴⁾⁽⁵⁾⁽⁶⁾を用いた.

SPGAまたはSMGAの小断層への分割に関しては、分割数の影響を見るため、5×5×5の場合と10×10×10の場合を検討した。経験的サイト増幅特性としては既往の研究⁶⁾で得られているものを用いた。位相特性としては、2005年12月17日宮城県沖の地震(M6.1)によるものを用いた。伝播経路のQ値としては佐藤・巽¹⁷による東日本の海溝性地震のQ値を用いた。位相特性とQ値の条件はSPGAモデルの構築を行った際と同様である。

(3) 地震動算定結果

図-3に、分割数が5×5×5の場合について、SPGAモデ

ルおよびSMGAモデルによる速度波形の計算結果と観測結果との比較を示す. 図-4に、分割数が10×10×10の場合について、SPGAモデルおよびSMGAモデルによる速度波形の計算結果と観測結果との比較を示す. これらの図において、速度波形はいずれも0.2-1Hzのバンドパスフィルタを適用したものである. また、SMGAモデルによる計算結果は、そのままではやや振幅が小さかったので、振幅を2倍にして表示している.

観測波(黒)には90s付近に明瞭なパルスが認められる.このパルスは、文献8)9)10)の震源モデルではSPGA4によりもたらされたものと解釈されており、ここでも、SPGA4を考慮した計算結果は、当該パルスを良好に再現している.また、その再現性は分割数にはほとんど依存しないことがわかる.

一方、SMGAモデルによる結果を見ると、計算結果の速度波形は1つのパルスを構成しておらず、ばらけており、観測された波形を正確に再現しているとは言い

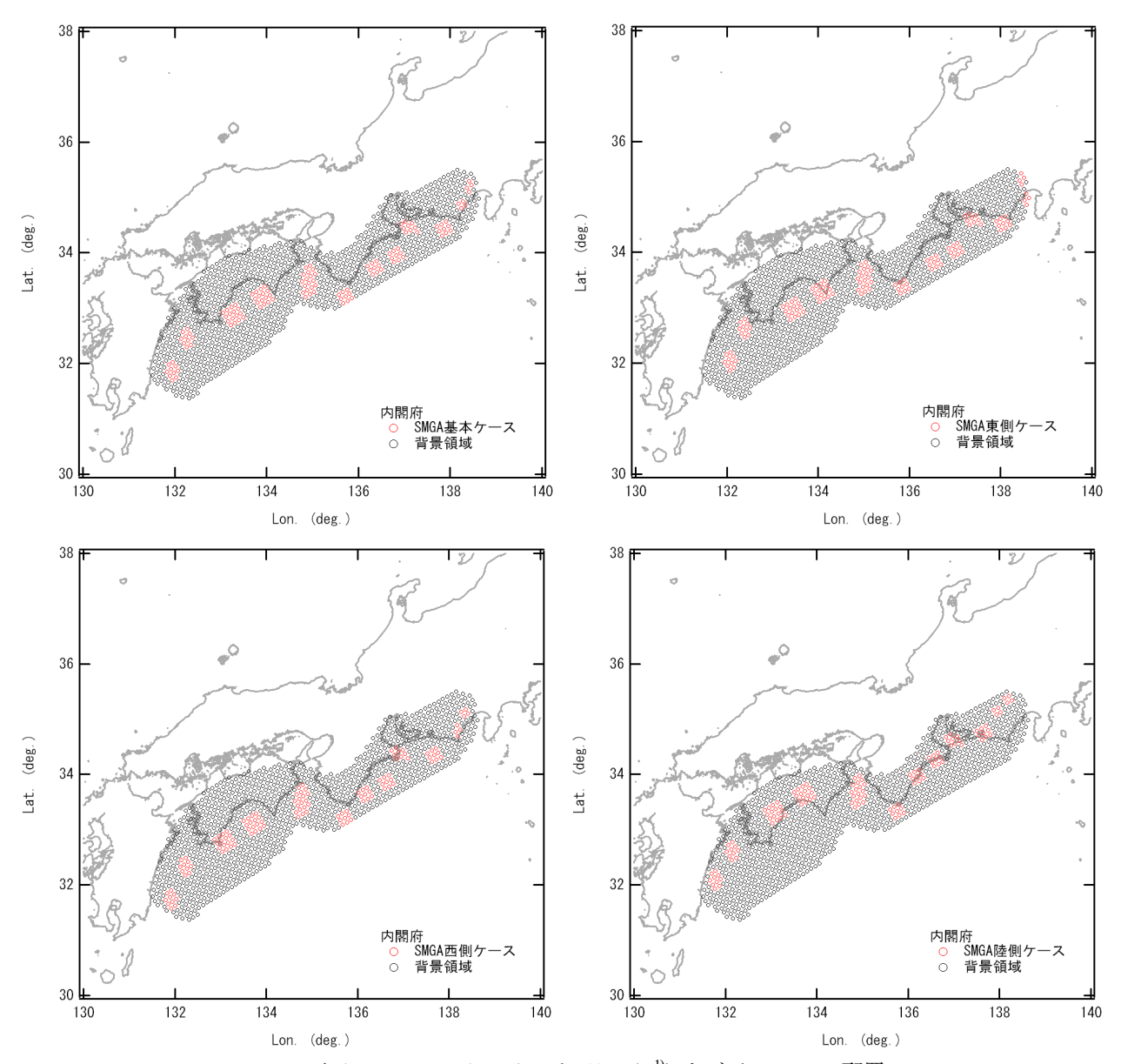


図-5 南海トラフの巨大地震モデル検討会 ¹⁾における SMGA の配置

難い. また、SMGAモデルのもう一つの特徴として、分割数が5×5×5の場合と10×10×10の場合で計算結果が一致していない. すなわち、SMGAモデルによる計算結果は分割数依存性が大きいと言える. SMGAモデルのこのような性格は、予測問題への適用において必ずしも好ましいものとは言えない.

3. 南海トラフの地震を対象としたSPGAモデルの 設定

(1) 対象とする地震

本研究では、文献¹⁾と同様、南海トラフの地震 $(M_w9.0)$ を対象とした。文献¹⁾では、南海トラフの地震 $(M_w9.0)$ による震度分布を推定することを目的とし

て、SMGAの組み合わせからなる震源モデルを提案している。このとき、図-5に示すように、SMGAの配置は、基本ケース、東側ケース、西側ケース、陸側ケースの4通りが考えられている。いずれのケースも震源モデルは12個のSMGAから成り立っている。

本研究の趣旨はSPGAモデルによる強震動評価を行うことにあるので、上記のSMGAモデルの震源パラメター(面積、地震モーメント等)を用いることはしないしかし、以下に述べるように、SPGAの配置にあたっては、提案されているSMGAの位置を参考にしている.

(2) SPGAのパラメターとその配置

野津他¹¹⁾¹²は、海溝型巨大地震による強震動パルスの 再現を目的として作成された既存の震源モデルについ て整理を行い、強震動パルス生成域(SPGA)の諸特性

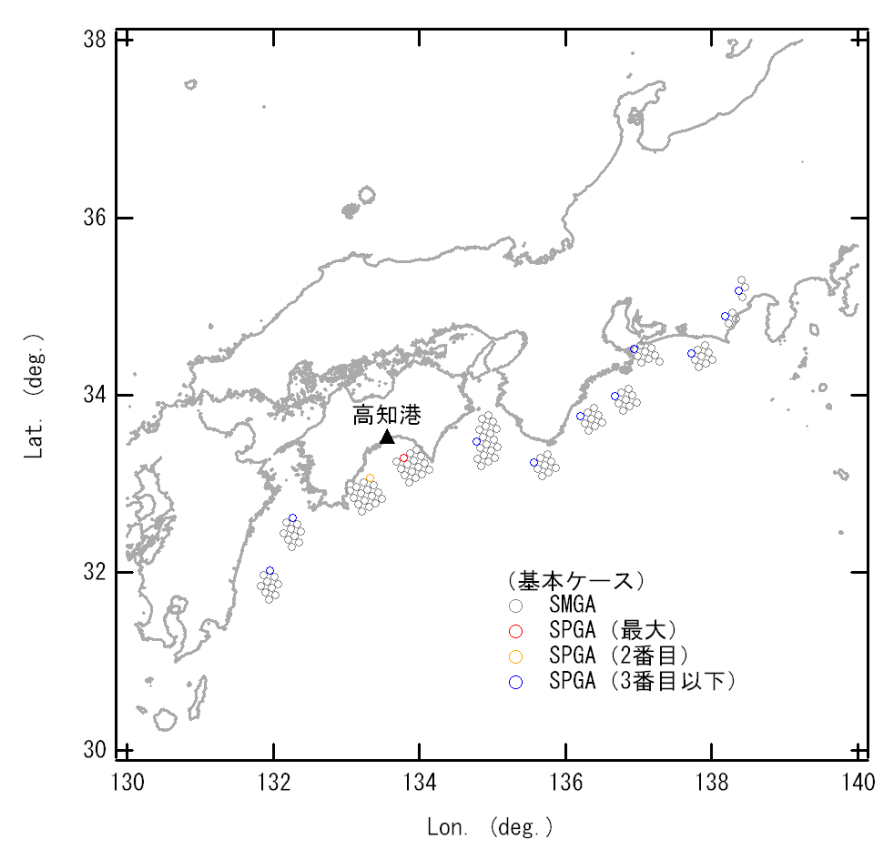


図-6 基本ケースの場合の SPGA の配置の一例 (高知港に対して厳しい場合)

と地震規模との関係について検討し、経験式も示している。一般に、地震全体の規模が与えられた場合に、SPGAのパラメターを決定するためには、上記の経験式を利用することが考えられる。しかし、ここでは、対象とする地震の規模はM_w9.0であり、東北地方太平洋沖地震と同規模であることから、個々のSPGAのパラメター(面積、地震モーメント等)としては、東北地方太平洋沖地震の震源モデルにおける個々のSPGAのパラメター(表-2)を用いることとした。

SPGAの位置については、予測が困難であるため、以下に述べるように、極めて多数のケースについて計算を行った.

まず、文献¹⁾のSMGAの配置(図-1)のうち、基本ケースを取り上げ、東北地方太平洋沖地震の9個のSPGAを、基本ケースの12個のSMGAの上に順次配置していくことを考える。このとき、SPGAは、SMGA上で最も対象地点に近い位置に配置した。ただし、基本ケースのSMGAは12個あるのに対し、東北地方太平洋沖地震のSPGAは9個であるため、9個のSPGAを配置し終えた後、残り3個については、東北地方太平洋沖地震の最下位のSPGA(SPGA5およびSPGA6)と同じパラメターのSPGAがさらに3個あるものと考え、配置を行った(ここでは放射エネルギーが最小のものを最下位のSPGAと呼んで

いる).本研究では、後述のように、多数の計算ケースによる地震動を(振幅の観点から)順位付けし、90% 非超過あるいは50%非超過の地震動を算出することを念頭に置いているが、残り3個のSPGAを加えるかどうかは、下位の地震動のみに影響するため、90%非超過あるいは50%非超過の地震動の抽出結果に対してはほとんど影響を及ぼさない。

この方法でSPGAを配置すると、配置の仕方は全部で12!(階乗)通り存在する。配置の仕方の一例として、図-6には高知港にとって最も厳しくなるようなSPGAの配置を示す。図の○は(放射エネルギーの観点から)最大のSPGAであり、東北地方太平洋沖地震のSPGA4に相当する。図の○は(放射エネルギーの観点から)2番目のSPGAであり、東北地方太平洋沖地震のSPGA1に相当する。図の○は(放射エネルギーの観点から)3番目以下のSPGAである。このように(当然ではあるが)最大のSPGAと2番目のSPGAがともに対象地点に近い場合に厳しい地震動となる。

ここまで、SMGAとしては基本ケース(図-1)を考えてきたが、同様の作業を東側ケース、西側ケース、陸側ケースに対しても実施すると、SPGAの配置の仕方は全部で12!×4通り存在する.

(3) 振幅による順位付け

以上のように、SPGAの配置の仕方には極めて多くのものが存在するが、それらによる地震動を(振幅の観点から)順位付けし、50%非超過、90%非超過等となる地震動を算出することを考える.

本稿の後段の強震動評価においては、基本的に、東 北地方太平洋沖地震等の地震動の再現に用いられたの と同じ、文献14)15)16)の方法を用いている。しかしなが ら、すべてのSPGAの配置に対して対象地点での地震動 を上記の手法で計算することは、計算時間の観点から 現実的でない。そこで、以下においては、対象地点の 地震基盤における地震動を近似的に計算し、その振幅 に応じて、地震動の順位付けを行うことを考える。こ のとき、地震動の順位付けはPSI値¹⁸の大小によって行 うこととした。PSI値は岸壁の被害程度と良い対応を示 す量であり、式(1)で定義される。

$$PSI = \left(\int_0^\infty (v(t))^2 dt\right)^{0.5} \tag{1}$$

ここにv(t)は速度波形である. PSI値は、平井・澤田¹⁹の 定義する「入射エネルギー密度」とも密接な関係があ る. 「入射エネルギー密度」をインピーダンス(密度 ×S波速度)で除し、平方根をとったものがPSI値であ る. また、Parzevalの定理により、PSI値は次式のように 速度フーリエスペクトルから計算することもできる.

$$PSI = \left(\frac{1}{\pi} \int_0^{\infty} (V(\omega))^2 d\omega\right)^{0.5}$$
 (2)

ここに、 ν(ω)は速度フーリエスペクトルである.

以下、地震基盤におけるPSI値の近似計算について説明する.

文献14)15)16)の方法では、震源において ω^2 モデル²⁰に従うグリーン関数を生成し、これを入倉他の方法²¹⁾で重ね合わせることにより、SPGAからの地震動を生成する.ところが、もともと入倉他の方法は、グリーン関数が ω^2 モデルに従うとき、重ね合わせ後の地震動も近似的に ω^2 モデルに従うように配慮されている。従って、文献14)15)16)の方法により計算されるSPGAからの地震動は、震源において近似的に ω^2 モデルに従うと考えられる.

そこで、PSI値の近似計算においては、SPGAからの地震動の震源スペクトルが完全に ω^2 モデルに従うと仮定する.このとき、速度の震源スペクトルは次式で表される.

$$V_s(\omega) = M_0 \omega / (1 + (\omega/\omega_c)^2)$$
(3)

ここにV₃(ω)は速度震源スペクトル, ω。はコーナー周波数である. 対象地点の地震基盤における速度フーリエスペクトルと速度震源スペクトルとの関係は次式で与えられる.

$$V(\omega) = CP(\omega) V_s(\omega) \tag{4}$$

ここに、 $P(\omega)$ は伝播経路特性であり、

$$P(\omega) = (1/r) \exp(-\omega r/2QV_s) \tag{5}$$

で与えられる. また, 係数Cは

$$C = R_{\theta,\phi} FSPRTITN/(4\pi \rho \beta^3)$$
 (6)

で与えられる. 式(4)を式(2)に代入し、 $P(\omega)$ を1Hzでの値 P_0 で置き換えると、PSI値は次式で近似される.

$$PSI = C P_0 \left(\frac{1}{\pi} \int_0^{\infty} (V_s(\omega))^2 d\omega \right)^{0.5}$$
 (7)

式(7)の右辺に式(3)を代入し、積分を実行すると

$$PSI=(1/2) CP_0 M_0 \omega_c^{15}$$
 (8)

が得られる.

そこで、個々のSPGAによる地震基盤でのPSI値を式(8)で求め、最後に、12個のSPGAに対する自乗和平方根をとることで、ある一つのSPGA配置に対する地震基盤でのPSI値を求める。

同様の作業をすべてのSPGA配置に対して繰り返すことで、50%非超過、90%非超過等に対応するSPGA配置を求める。

いったん,50%非超過,90%非超過等となるSPGA配置を求めた後に,サイト特性を考慮して対象地点での地震動を求めるには,文献14)15)16)の方法を用いる.

4. 地震動算定条件

本研究で強震動評価の対象としたのは、東海から九州にかけての16港湾18地点である。それらを図-7と表-2に示す。各々の地点に対して、地震基盤でのPSI値が50%非超過となるSPGA配置を図-7に示している。例えば高知港の場合、紀淡海峡付近に最大のSPGAが存在するケースが、50%非超過のケースとして選択された。

文献14)15)16)の方法で地震動を計算するためには、サイト増幅特性と、グリーン関数の位相特性を決めるための中小地震観測記録が必要である.

ここで、サイト増幅特性としては、国土技術政策総合研究所港湾施設研究室²³によるものを用いた.これは、主にスペクトルインバージョンにより求められた地震基盤〜地表のサイト増幅特性⁶²³を、工学的基盤〜地表の伝達関数で除することにより求められたものである.サイト増幅特性の評価に用いられた強震観測地点を表-2に示す.伝達関数を求めるのに用いられた地盤モデルは港湾施設研究室のホームページ²³から公開されている.

グリーン関数の位相特性を決めるための中小地震は、可能な限り、対象とする地震と入射角およびback azimuthという点で類似した地震を選ぶことが望ましい. ここでは対象とする地震の震源域が広いので、対象地

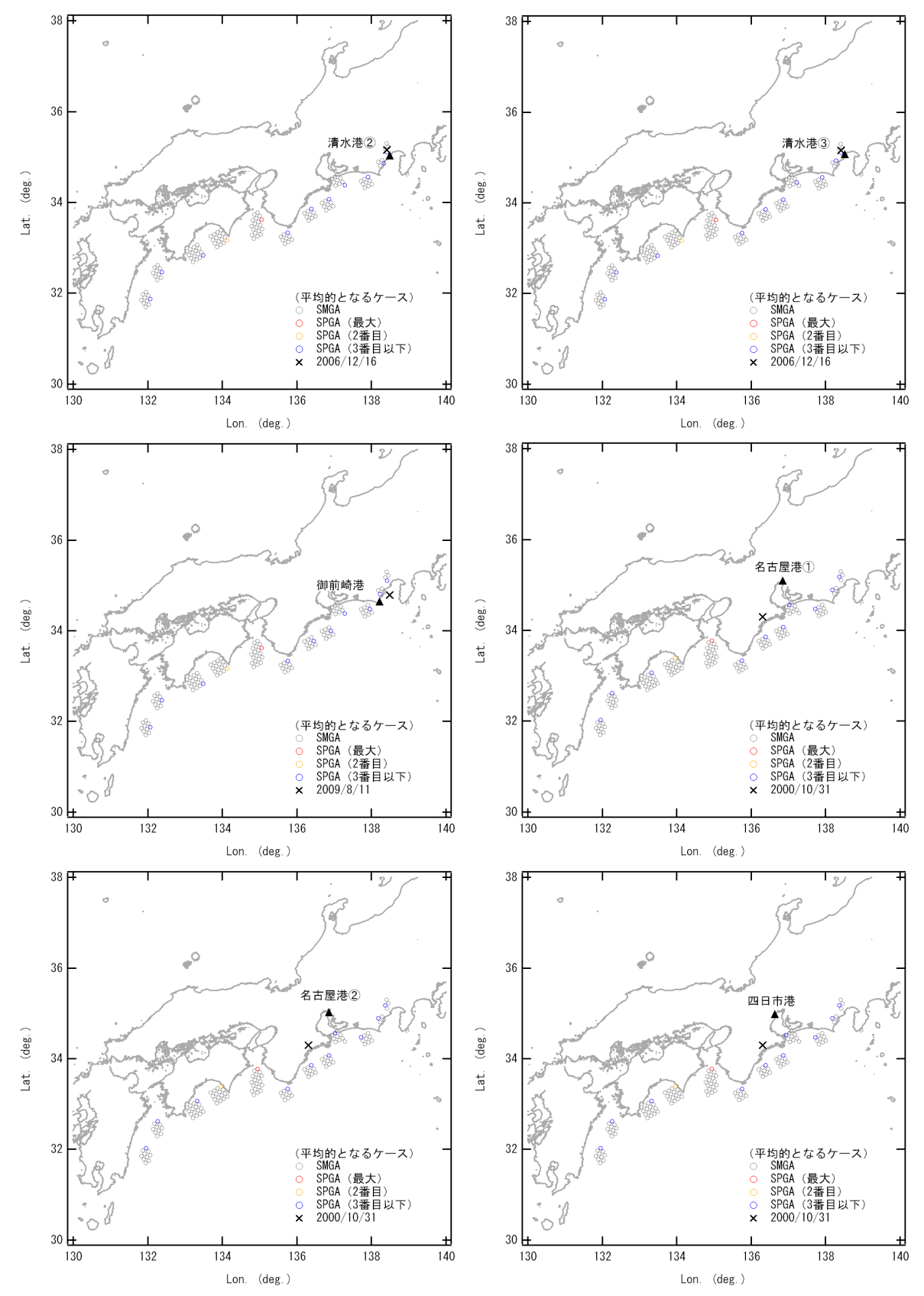
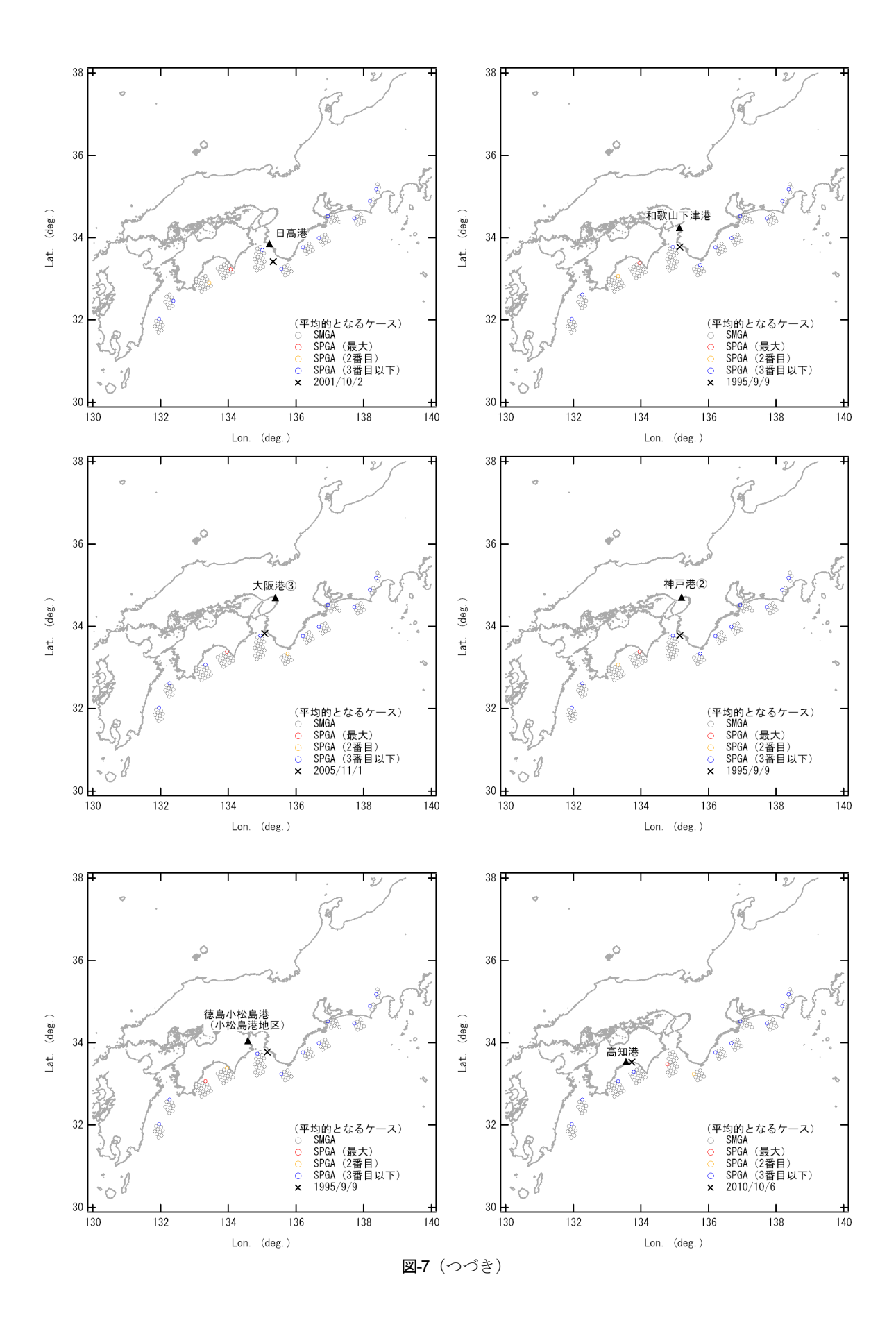


図-7 対象港湾(地点) および 50%非超過の地震動をもたらす SPGA 配置 (×は採用した中小地震の震央)



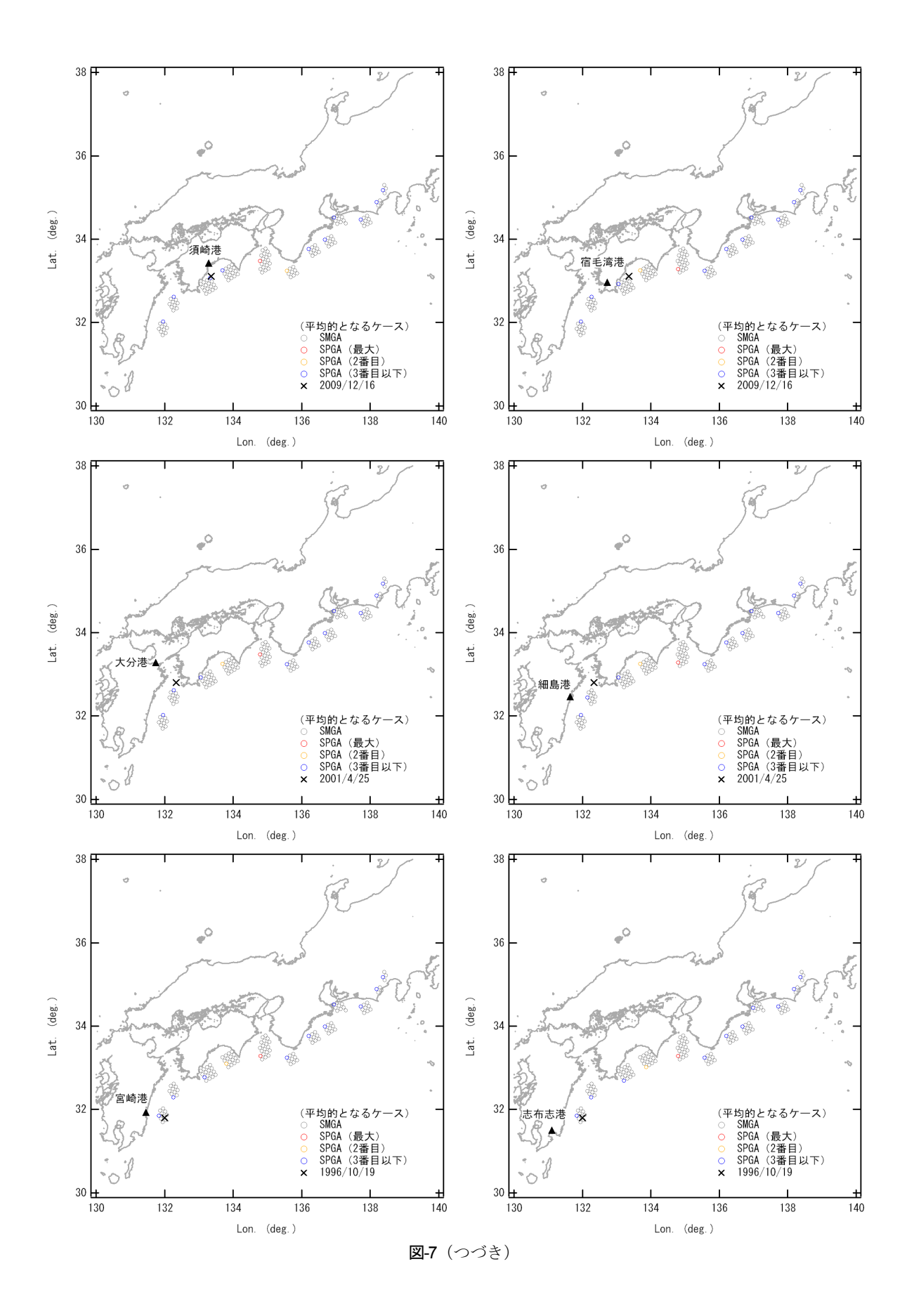


表-2 地震動算定の対象地点,選択した中小地震,および伝播経路のQ値 (地点番号は国総研港湾施設研究室²⁰による地点番号)

地点番号	港湾(ゾーン)	観測点	中小地震				伝播経路のQ値
			発生日	震央	М	Δ	
9310	清水港②	清水日の出-U2	20061216	静岡県中部	4.0	17.8	佐藤・巽(2002)
9321	清水港③	新興津-U2	20061216	静岡県中部	4.0	15.5	<i>II</i>
9314	御前崎港	御前崎-G	20090811	駿河湾南部	6.5	32.4	<i>II</i>
9308	名古屋港①	名古屋空見-G	20001031	志摩半島	5.7	97.1	<i>II</i>
9320	名古屋港②	AIC011	20001031	志摩半島	5.7	92.0	<i>II</i>
9312	四日市港	四日市-G	20001031	志摩半島	5.7	78.2	<i>II</i>
9406	日高港	WKYH10	20011002	紀伊半島南方沖	4.6	46.0	Petukhin et al.(2003)
9411	和歌山下津港	和歌山−G	19950909	紀伊水道南部	4.5	49.6	<i>II</i>
9414	大阪港③	OSKH02	20051101	紀伊水道	4.3	97.0	<i>II</i>
9415	神戸港②	神戸PI	19950909	紀伊水道南部	4.5	49.6	<i>II</i>
	徳島小松島港(小松島港地区)	小松島-G	19950909	紀伊水道南部	4.5	59.7	<i>II</i>
9611	高知港	高知-G	20101006	高知県中部	4.5	15.4	<i>II</i>
9609	須崎港	KOCH07	20091216	土佐湾	4.6	32.0	<i>II</i>
9610	宿毛湾港(池島地区)	KOC015	20091216	土佐湾	4.6	62.0	<i>II</i>
9725	細島港	細島−G	20010425	日向灘	5.8	76.4	<i>II</i>
	宮崎港	宮崎−G	19961019		6.9	53.4	<i>II</i>
9727	大分港	大分-G	20010425	日向灘	5.8	74.6	<i>II</i>
9730	志布志港	志布志-G	19961019	日向灘	6.9	92.4	11

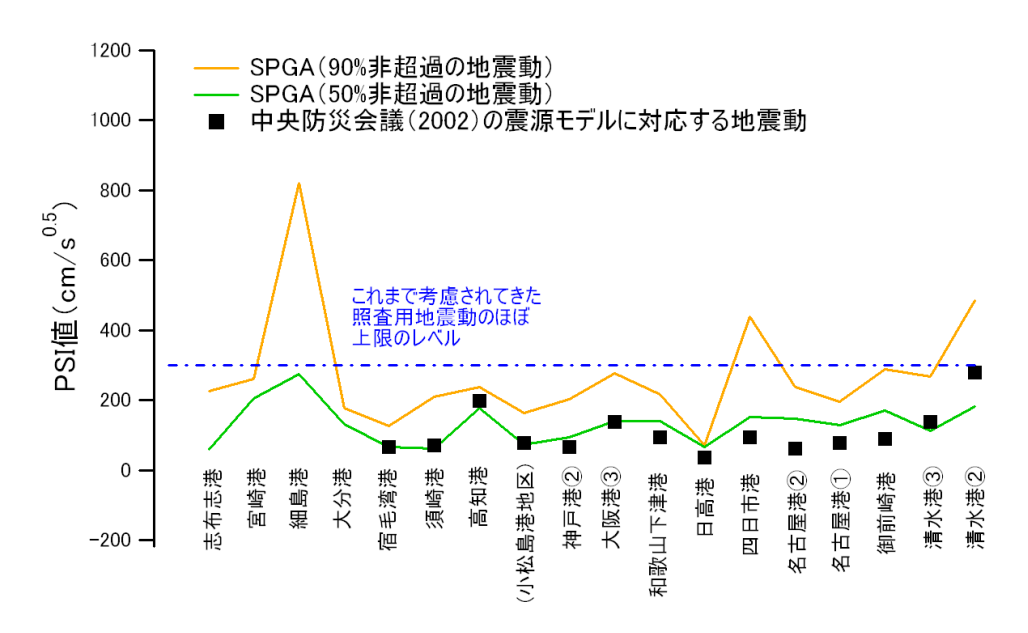


図-8 工学的基盤における 50%非超過および 90%非超過の地震動の PSI 値の計算結果

点の地震動に対して最も影響が大きいと考えられる最寄りのSPGAに対して、入射角およびbackazimuthという点で類似した地震を選択した. その選択結果を表-2に示す. また、選択された地震の震央を図-7に示す. 図-7に示すように、名古屋港と四日市港では、利用可能な記録の制約から、最寄りのSPGAからやや離れた地震が選択されているが、大多数の地点に対しては、最寄りのSPGA付近で発生した条件の良い地震を選ぶことができている.

選択した地震による対象地点の地表での観測記録を, 線形の重複反射理論で工学的基盤に引き戻し,その位 相特性を用いた.このとき用いる地盤モデルとしては, サイト増幅特性の算出に用いられた地盤モデルと同じ もの²²⁾を用いた.

伝播経路のQ値については、対象地点毎に、**表-2**に示すものを用いた.

5. 地震動算定結果と考察

(1) PSI値の空間的な分布

対象とした全地点における50%非超過および90%非超過の(工学的基盤における)地震動のPSI値の分布を図-8に示す. 先ず,図-8の■は、東北地方太平洋沖地震発生以前の段階において、中央防災会議が示していた東南海・南海地震(M_w8.7)の震源モデル²⁴に基づいて、同じ地点で評価されていた地震動のPSI値である.これ

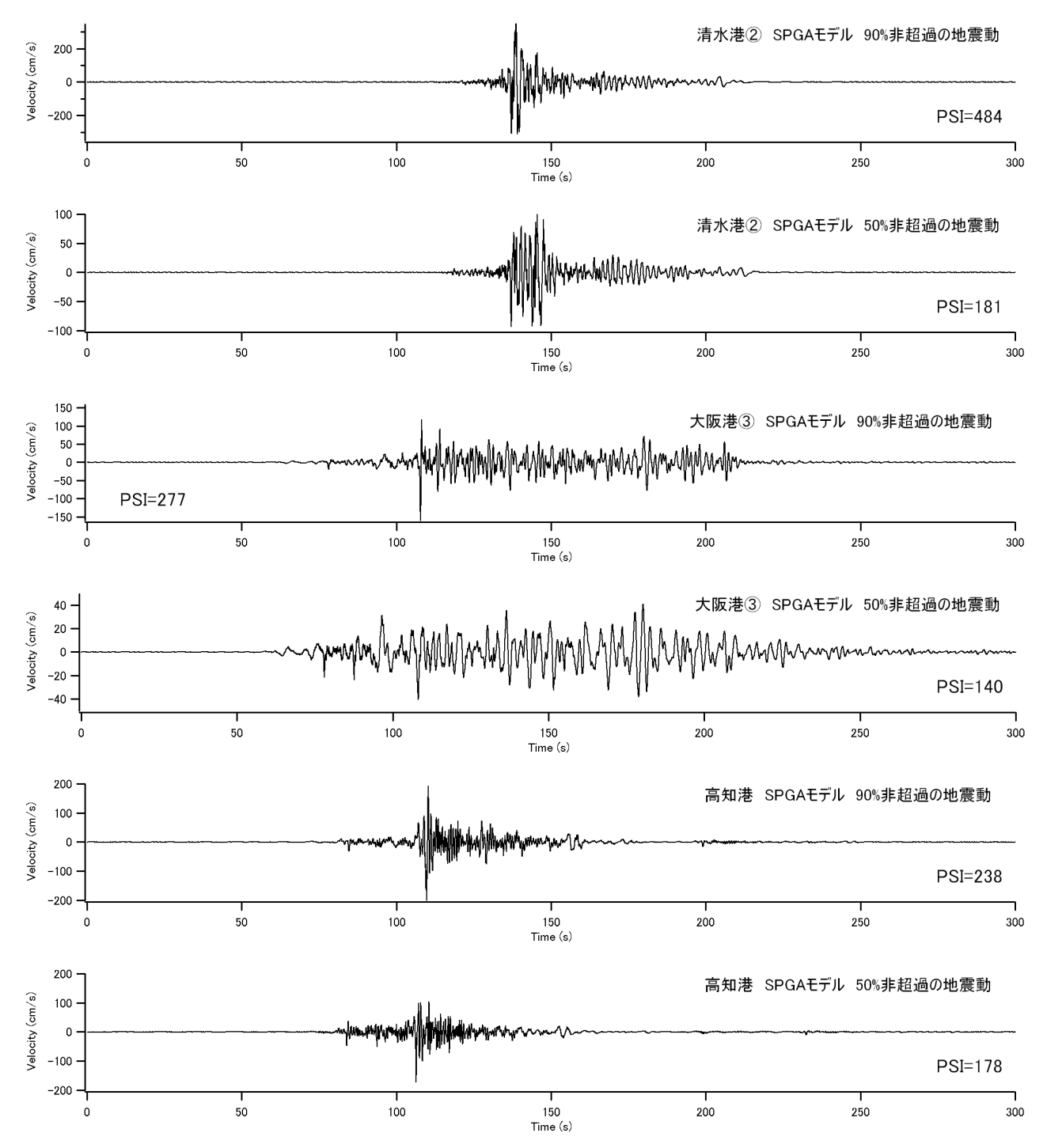


図9 工学的基盤における速度波形の計算結果の例(清水港はSN成分,大阪港はEW成分,高知港はEW成分)

らの地震動は、これまで、港湾施設の耐震性評価に利用されてきている。その値は、 $50\sim100\,\mathrm{cm/s}^{05}$ の範囲にある場合が多く、大きい場合でも、清水港のゾーン②を除けば $200\,\mathrm{cm/s}^{05}$ を下回っている。それに対して、本研究で計算された90%非超過の地震動は、18地点のうち13地点で $200\,\mathrm{cm/s}^{05}$ 以上となっており、さらに、3地点では $300\,\mathrm{cm/s}^{05}$ を上回るなど、はるかに大きい地震動となっている。

一方、本研究で計算された50%非超過の地震動は、全

体的に見ると、従来から港湾施設の耐震性評価に利用されてきた地震動と同程度のPSI値となっている。その理由としては、中央防災会議が示していた東南海・南海地震 $(M_w8.7)$ の震源モデル 24 が、宝永地震、安政東海地震、安政南海地震の震度分布を包絡するように設定されたもので、必ずしも $M_w8.7$ の平均に該当していない可能性と、 $M_w8.7$ の地震と $M_w9.0$ の地震による強震動に平均的には大差がない可能性の両者が考えられ、ここでの解析結果だけからでは、いずれが正しいか判断

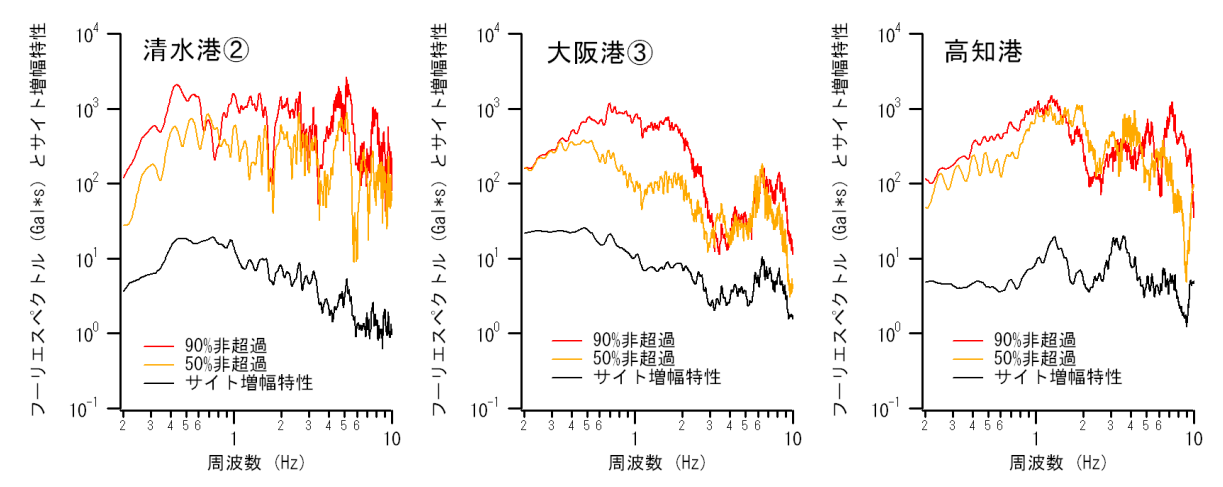


図-9 工学的基盤における加速度フーリエスペクトルの計算結果の例(サイト増幅特性との比較) (清水港は SN 成分, 大阪港は EW 成分, 高知港は EW 成分)

することは困難である.

(2) 時刻歷波形

計算された地震動の時刻歴波形(速度波形)の例を図-9に示す.ここでは清水港ゾーン②,大阪港ゾーン③,高知港における90%非超過と50%非超過の速度波形を示している.いずれの地点においても、90%非超過の地震動は、大振幅のパルスによって特徴付けられている.大阪港ゾーン③のように、堆積層の影響で後続位相の発達する地点においても、90%非超過の場合には、後続位相よりもパルスが卓越している.これは、90%非超過の地震動を選択した場合、対象地点に比較的近い所に(放射エネルギーの観点で)強力なSPGAが配置されたモデルが選択される傾向にあり、その場合、当該SPGAからの強震動パルスが対象地点の速度波形において支配的となるためであると考えられる.

(3) フーリエスペクトル

計算された地震動の加速度フーリエスペクトルの例を図-10に示す。ここでは清水港ゾーン②,大阪港ゾーン③,高知港における例を示している。図-10には比較のため,地震動の計算に用いたサイト増幅特性(地震基盤~工学的基盤)²⁰を併せて示している。各地点とも,サイト増幅特性の特徴が,地震動の計算結果に反映されていることがわかる。例えば,清水港ゾーン②での0.5Hz付近の卓越,大阪港ゾーン③での0.2-2Hzの卓越,高知港での1Hz付近の卓越などが,地震動の計算結果に反映されている。

なお、地震動の大小の順位付けは本研究ではPSI値により行っているので、一部の周波数帯域では、90%非超過と50%非超過の逆転も生じている。特定の周波数帯域

での地震動の大小を重視する場合には、本研究の手法 を一部修正して、特定の周波数帯域における振幅で順 位付けすることも考えられる.

6. まとめ

本稿では、既往の巨大地震への高い適用性を示す SPGAモデルを用い、東海から九州の港湾を対象として、南海トラフの地震 (M_w9.0) に対する強震動評価を行い、その結果について報告した。強震動評価にあたり、SPGAの位置については、事前の予測が困難であるとの立場から極めて多くのケースについて検討を行った。それらによる地震動を(振幅の観点から)順位付けし、50%非超過、90%非超過等となるSPGA配置を求めるための簡便な方法を提案した。具体的には、対象地点の地震基盤におけるPSI値を近似的に計算し、その大小に応じて、地震動の順位付けを行う方法を提案した。

この方法を、東海から九州にかけての16港湾18地点に具体的に適用したところ、計算された90%非超過の地震動は、従来から港湾施設の耐震性評価に利用されてきた地震動よりもはるかに大きい地震動となることがわかった。一方、計算された50%非超過の地震動は、全体的に見ると、従来から港湾施設の耐震性評価に利用されてきた地震動と同程度のPSI値となった。時刻歴波形の特徴としては、特に90%非超過の速度波形が大振幅のパルスによって特徴付けられていることが挙げられる。大阪港ゾーン③のように、堆積層の影響で後続位相の発達する地点においても、90%非超過の場合には、後続位相よりもパルスが卓越している。

今後は、海溝型巨大地震による地震動の一つの大きな特徴が強震動パルスの生成であることを十分認識し、

それに対する構造物の耐震性の検討を行っていくこと が重要であると考えられる.

謝辞

本研究では防災科学技術研究所のK-NET, KiK-netの 強震記録を利用しています. 記して謝意を表します.

参考文献

- 南海トラフの巨大地震モデル検討会:南海トラフの 巨大地震による震度分布・津波高について(第一次 報告), 2012, http://www.bousai.go.jp/jishin/chubou /nankai trough/1st report.pdf.
- Kinoshita, S.: Kyoshin Net (K-net), Seim. Res. Lett., Vol. 69, pp.309-332, 1998
- Aoi, S., Obara, K., Hori, S., Kasahara, K. and Okada, S.: New strongmotion observation network: KiK-net, EOS. Trans. Am. Geophys. Union, Vol. 329, 2000.
- 4) 野津厚,菅野高弘:経験的サイト増幅・位相特性を 考慮した強震動評価手法ー内陸活断層地震および海 溝型地震への適用性の検討ー,港湾空港技術研究所 資料,No.1120,2006.
- 5) 野津厚:海溝型巨大地震の特性化震源モデル作成に おけるこつ,日本地震学会講演予稿集,D004,2006.
- 6) 野津厚,長尾毅,山田雅行:スペクトルインバージョンに基づく全国の強震観測地点におけるサイト増幅特性とこれを利用した強震動評価事例,日本地震工学会論文集,Vol.7,pp.215-234,2007.
- 7) 野津厚:海溝型巨大地震による周期 1-5 秒の帯域の 地震動の予測手法について,日本地震学会講演予稿 集,B12-04,2010.
- 8) 野津厚:東北地方太平洋沖地震を対象とするスーパーアスペリティモデルの提案,日本地震工学会論文集,Vol.12,No.2,pp.21-40,2012.
- 9) 野津厚, 若井淳: 強震動を対象とした 2011 年東北地 方太平洋沖地震の震源モデル, 港湾空港技術研究所 報告, Vol.51, No.1, pp.23-53, 2012.
- 10) 野津厚:強震動パルスの生成に着目した 2011 年東北 地方太平洋沖地震の特性化震源モデル,日本地球惑 星科学連合 2012 年大会予稿集(CD-ROM), 2012.
- 11) 野津厚、山田雅行、長尾毅、入倉孝次郎:海溝型巨大地震における強震動パルスの生成とその生成域のスケーリング、日本地震工学会論文集、Vol.12、No.4 (特集号)、pp.209-228、2012.

- 12) 野津厚,長尾毅:海溝型巨大地震による地震動の予測のための震源パラメターの経験式-強震動パルスの生成に着目して-,港湾空港技術研究所資料,No.1257, 2012.
- 13) Miyake, H., Iwata, T. and Irikura, K.: Source characterization for broadband ground-motion simulation: kinematic heterogeneous source model and strong motion generation area, *Bull. Seism. Soc. Am.*, Vol.93, pp.2531-2545, 2003.
- 14) 古和田明,田居優,岩崎好規,入倉孝次郎:経験的 サイト増幅・位相特性を用いた水平動および上下動 の強震動評価,日本建築学会構造系論文集,No.514, pp.97-104,1998.
- 15) 野津厚, 菅野高弘:経験的サイト増幅・位相特性を 考慮した強震動評価手法-因果性と多重非線形効果 に着目した改良-, 港湾空港技術研究所資料, No.1173, 2008.
- 16) 野津厚,長尾毅,山田雅行:経験的サイト増幅・位相特性を考慮した強震動評価手法の改良-因果性を満足する地震波の生成-,土木学会論文集 A, Vol.65, pp.808-813, 2009.
- 17) 佐藤智美, 巽誉樹:全国の強震記録に基づく内陸地震と海溝性地震の震源・伝播・サイト特性, 日本建築学会構造系論文集, No.556, pp.15-24, 2002.
- 18) 野津厚,井合進:岸壁の即時被害推定に用いる地震 動指標に関する一考察,第 28 回関東支部技術研究発 表会講演概要集,土木学会関東支部,pp.18-19, 2001.
- 19) 平井俊之,澤田純男:地震動のエネルギー指標に基づく地震動予測結果の妥当性評価,日本地震工学会論文集,Vol.12,pp.31-42,2012.
- Aki, K.: Scaling law of seismic spectrum, *J. Geophys. Res.*, Vol.72, pp.1217-1231, 1967.
- 21) 入倉孝次郎,香川敬生,関口春子:経験的グリーン 関数を用いた強震動予測方法の改良,日本地震学会 講演予稿集,No.2,B25,1997.
- 22) 国土技術政策総合研究所港湾施設研究室: レベル 1 地震動について、http://www.ysk.nilim.go.jp/kakubu/ kouwan/sisetu/sisetu.html.
- 23) 野津厚・長尾毅: スペクトルインバージョンに基づ く全国の港湾等の強震観測地点におけるサイト増幅 特性,港湾空港技術研究所資料, No.1112, 2005.
- 24) 中央防災会議: 東南海・南海地震等に関する専門調 査会(第7回) 図表集, 2002.

EVALUATION OF STRONG GROUND MOTIONS FOR A SCENARIO EARTHQUAKE WITH $M_{\rm W}9.0$ ALONG THE NANKAI TROUGH WITH THE SPGA MODEL

Atsushi NOZU

The occurrence of the 2011 Tohoku earthquake ($M_w9.0$) along the Japan Trench motivated us to hypothesize an equally gigantic earthquake along the Nankai Trough, which is another plate boundary close to the coast of Japan. The evaluation of strong ground motions for such an earthquake should be based on a source model whose applicability for gigantic earthquakes has been demonstrated using existing strong motion recors including those from the Tohoku earthquake. In this article, strong ground motions for a scenario earthquake with $M_w9.0$ along the Nankai Trough are evaluated using a source model called the

"SPGA model", which can reproduce strong ground motions from gigantic earthquakes quite accurately. Because it is difficult to predict the locations of SPGAs, many cases are considered with different distributions of the SPGAs. The result indicates that the ground motions are strongly dependent on the locations of the SPGAs. When an intense SPGA is close to the target site, the ground motions can be much more intence than those usually assumed for the design of infrastructures.